

## بررسی مدهای آکوستیکی و اپتیکی در یک مدل یک بعدی با سه ذره در یاخته ی یکانی

محمد بهمنی، الناز ماه گرهفته، سارا قتاد

گروه فیزیک، دانشگاه صنعتی خواجه نصیرالدین طوسی، تهران،

محمدابراهیم فولادوند

گروه فیزیک، دانشگاه زنجان، زنجان

### چکیده

در این نوشته رابطه پاشندگی فونونی را برای یک بلور یک بعدی که در یاخته یکانی آن سه ذره وجود دارد در تقریب هماهنگ بررسی می کنیم. فرض می شود هر ذره تنها با همسایگان نزدیک خود برهمکنش دارد. بستگی گاف انرژی در مرزهای منطقه بریلوئن و مرکز آن را به تغییرات نسبت ضرایب برهمکنش میان ذرات یاخته وهمچنین نسبت جرم های ذرات بدست می آوریم.

گاما، شماره ی ۲۶، مقاله ی ۱ (بهار ۱۳۹۲) ویرایش ۱ (۱۳۹۲/۱/۱۲)

### Abstract

The phononic dispersion relation for a 1D crystal which has 3 different atoms per unit cell is investigated in the harmonic approximation. It is assumed that each particle is only interacting with its nearest neighbors. The dependence of the energy gap on the ratio of spring coupling constants is investigated for the center and the boundary of the Brillouin zone.

Mohammad Bahmani, Elnaz Mahgerefteh, Sara Ghannad, Mohammad-Ebrahim Fouladvand; *Investigating acoustical and optical modes in a 1D model with 3-type particles in the unit cell;*

Gamma, no. 26, art. 1 (Spring 2013), v. 1 (1 Apr 2013)

URL: <http://www.gammajournal.ir>

## ۱ پیشگفتار

بررسی مدهای آوایی (آکوستیکی) و نوری (اپتیکی) فونون ها در جامدات از اهمیت زیادی در فیزیک حالت جامد برخوردار است [1, 2]. یک مد آکوستیکی فونونی به مدی گفته می شود که در رابطه پاشندگی آن هنگامیکه  $q$  به سمت صفر می رود، بسامد  $\omega(q)$  نیز به سمت صفر برود. چنانچه وقتی  $q \rightarrow 0$  می رود بسامد  $\omega$  به سمت صفر نرود، به آن مد، مد اپتیکی می گوئیم. در بیشتر کتاب های حالت جامد برای روشن کردن این موضوع مدلی یک بعدی از جسم جامد در نظر می گیرند و نشان می دهند که اگر دو ذره در یاخته ی یکانی وجود داشته باشد، یکی از این دو مد اپتیکی خواهد بود. برای روشن تر شدن مسئله ما در این نوشته حالتی را در نظر می گیریم که در یاخته ی یکانی سه ذره وجود داشته باشد. نشان می دهیم از سه مد مسئله دو مد اپتیکی و یک مد آکوستیکی هستند. البته در حالت کلی تر که یاخته  $f$  ذره داشته باشد، می شود ثابت کرد که همواره یکی از مدها آکوستیکی و  $f - 1$  مد دیگر اپتیکی هست [1].

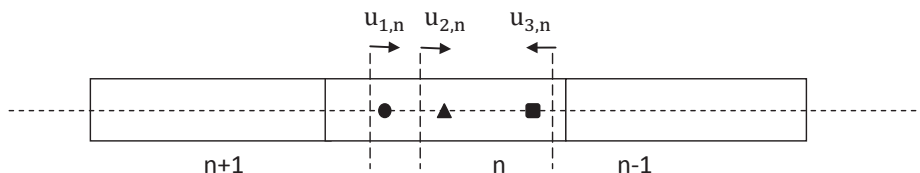
## ۲ صورت بندی مسئله

اینک به فرمول بندی مسئله می پردازیم. یک بلور یک بعدی را در نظر می گیریم که در یاخته ی یکانی آن سه ذره با جرم های  $m_1, m_2, m_3$  و ثابت شبکه را  $a$  می گیریم. در تقریب هماهنگ، فرض می کنیم هر ذره تنها با همسایگان نزدیک خود برهمکنش دارد [2]. در این تقریب برهمکنش میان ذرات را می توان به صورت فنرهای مجازی با ثابت های  $k_1, k_2, k_3$  مدل کرد. در زمان  $t$  جابجایی ذرات از موضع تعادلشان را با  $u_1, u_2, u_3$  و نشان می دهیم. در شکل (1) هندسه ی مسئله کشیده شده است. فاصله ی تعادلی میان ذرات 1 و 2 ی هر یاخته را با  $d$ ، و فاصله ی میان ذرات 2 و 3 را با  $e$  نمایش می دهیم. بی آن که کلیت مسئله از دست برود، می توان فرض کرد  $d < a/2$  و  $e < (a - d)/2$  است (شکل (2) را ببینید).

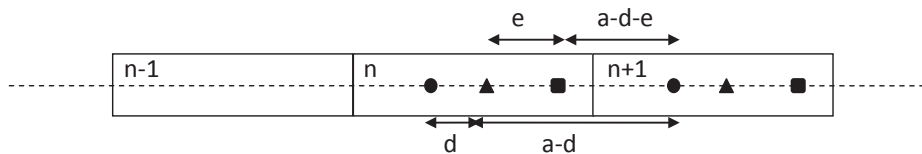
در تقریب هماهنگ انرژی پتانسیل سامانه به صورت زیر خواهد بود.

$$U = \frac{1}{2} \sum_n \left\{ k_1 (u_{2,n} - u_{3,n})^2 + k_2 (u_{3,n} - u_{1,n+1})^2 + k_3 (u_{1,n} - u_{2,n})^2 \right\}. \quad (1)$$

$k_1$  ثابت نیرویی است که ذرات 2 و 3 ی یک یاخته را به هم پیوند می دهد.  $k_2$  ثابت نیرویی است که ذره ی 3 ی یک یاخته را به ذره ی 1 ی یاخته ی بعدی پیوند می دهد.  $k_3$  ثابت نیرویی است که ذرات 1 و 2 ی یک یاخته



شکل 1: سه ذره در یاخته ی یکانی که با نشان های دایره، سه گوش، و چهارگوش نشان داده شده اند.  $n$  شماره ی یاخته را نشان می دهد. خطوط عمودی نقطه چین مکان تعادلی ذره ها را نشان می دهند.



شکل 2: فاصله ی تعادلی میان ذرات یاخته.

را به هم پیوند می دهد (شکل (3) را ببینید).  
از رابطه ی (1) معادلات حرکت برای ذرات یاخته ی  $n$  به صورت زیر خواهند بود.

$$m_1 \ddot{u}_{1,n} = -\frac{\partial U}{\partial u_{1,n}} = -\frac{\partial}{\partial u_{1,n}} \left\{ \frac{k_3}{2} (u_{1,n} - u_{2,n})^2 + \frac{k_2}{2} (u_{3,n-1} - u_{1,n})^2 \right\} \quad (2)$$

$$m_2 \ddot{u}_{2,n} = -\frac{\partial U}{\partial u_{2,n}} = -\frac{\partial}{\partial u_{2,n}} \left\{ \frac{k_3}{2} (u_{1,n} - u_{2,n})^2 + \frac{k_1}{2} (u_{2,n} - u_{3,n})^2 \right\} \quad (3)$$

$$m_3 \ddot{u}_{3,n} = -\frac{\partial U}{\partial u_{3,n}} = -\frac{\partial}{\partial u_{3,n}} \left\{ \frac{k_1}{2} (u_{2,n} - u_{3,n})^2 + \frac{k_2}{2} (u_{3,n} - u_{1,n+1})^2 \right\} \quad (4)$$

پس از انجام مشتق گیری خواهیم داشت:

$$m_1 \ddot{u}_{1,n} = -k_3 (u_{1,n} - u_{2,n}) + k_2 (u_{3,n-1} - u_{1,n}), \quad (5)$$

$$m_2 \ddot{u}_{2,n} = +k_3 (u_{1,n} - u_{2,n}) - k_1 (u_{2,n} - u_{3,n}), \quad (6)$$

$$m_3 \ddot{u}_{3,n} = +k_1 (u_{2,n} - u_{3,n}) - k_2 (u_{3,n} - u_{1,n+1}). \quad (7)$$

پاسخها را به صورت زیر در نظر می گیریم.

$$u_{1,n} = \epsilon_1 e^{i(qna - \omega t)}, \quad (8)$$

$$u_{2,n} = \epsilon_2 e^{i(qna - \omega t)}, \quad (9)$$

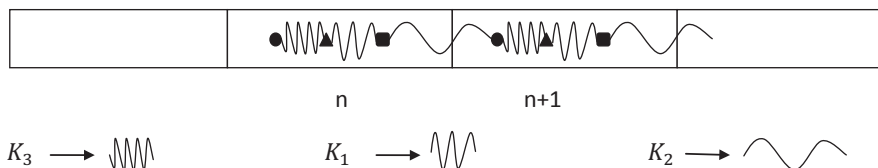
$$u_{3,n} = \epsilon_3 e^{i(qna - \omega t)}. \quad (10)$$

$u_i$  ها موج تخت با بسامد  $\omega$  و عدد موج  $q$  هستند.  $\epsilon_i$  ها دامنه های جابجایی هستند. در این نوشته شرط های مرزی بورن-فون کارمن را به کار برده ایم [1]. اگر این توابع را در سه معادله ی بالا جایگزین کنیم، پس از ساده سازی و حذف عامل های مشترک، به دست می آوریم:

$$-m_1 \omega^2 \epsilon_1 = -k_3 (\epsilon_1 - \epsilon_2) + k_2 (\epsilon_3 e^{-iqa} - \epsilon_1), \quad (11)$$

$$-m_2 \omega^2 \epsilon_2 = +k_3 (\epsilon_1 - \epsilon_2) - k_1 (\epsilon_2 - \epsilon_3), \quad (12)$$

$$-m_3 \omega^2 \epsilon_3 = k_1 (\epsilon_2 - \epsilon_3) - k_2 (\epsilon_3 - \epsilon_1 e^{iqa}). \quad (13)$$



شکل 3: ثابت‌های نیروهای میان ذرات ساخته.

این دستگاه را می‌توان به شکل ساده‌تر زیر نوشت،

$$\epsilon_1 (m_1 \omega^2 - k_3 - k_2) + \epsilon_2 k_3 + \epsilon_3 k_2 e^{-iqa} = 0, \quad (14)$$

$$\epsilon_1 k_3 + \epsilon_2 (m_2 \omega^2 - k_3 - k_1) + \epsilon_3 k_1 = 0, \quad (15)$$

$$\epsilon_1 k_2 e^{iqa} + \epsilon_2 k_1 + \epsilon_3 (m_3 \omega^2 - k_2 - k_1) = 0, \quad (16)$$

و سپس آن را به صورت دستگاه معادلات  $3 \times 3$  همگن زیر در آورد.

$$\begin{bmatrix} m_1 \omega^2 - k_3 - k_2 & k_3 & k_2 e^{-iqa} \\ k_3 & m_2 \omega^2 - k_3 - k_1 & k_1 \\ k_2 e^{iqa} & k_1 & m_3 \omega^2 - k_2 - k_1 \end{bmatrix} \begin{bmatrix} \epsilon_1 \\ \epsilon_2 \\ \epsilon_3 \end{bmatrix} = \begin{bmatrix} 0 \\ 0 \\ 0 \end{bmatrix}. \quad (17)$$

شرط وجود پاسخ نابدیهی این است که دترمینان ماتریس ضرایب صفر شود.

$$P(\omega^2) := \begin{vmatrix} m_1 \omega^2 - k_3 - k_2 & k_3 & k_2 e^{-iqa} \\ k_3 & m_2 \omega^2 - k_3 - k_1 & k_1 \\ k_2 e^{iqa} & k_1 & m_3 \omega^2 - k_2 - k_1 \end{vmatrix} = 0. \quad (18)$$

با انجام کمی محاسبه به معادله ی زیر می‌رسیم.

$$P(\omega^2) = C_6 \omega^6 + C_4 \omega^4 + C_2 \omega^2 + C_0 = 0, \quad (19)$$

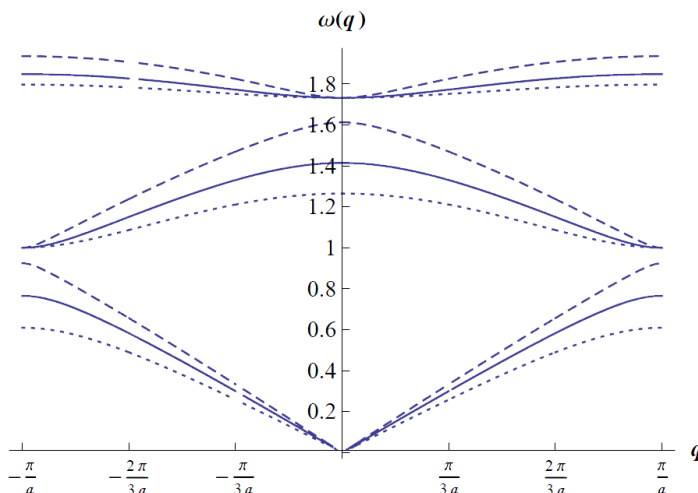
که در این جا

$$C_6 = m_1 m_2 m_3, \quad (20)$$

$$C_4 = k_1 m_1 (m_2 + m_3) + k_2 m_2 (m_3 + m_1) + k_3 m_3 (m_1 + m_2), \quad (21)$$

$$C_2 = (k_1 k_2 + k_2 k_3 + k_3 k_1) (m_1 + m_2 + m_3), \quad (22)$$

$$C_0 = -2 k_1 k_2 k_3 (1 - \cos qa). \quad (23)$$



شکل 4: رابطه ی پاشندگی فونونی برای  $\alpha = 1$ ،  $\beta = 0.3$  (dotted),  $0.5$  (solid),  $0.8$  (dashed).

### ۳ حل معادلات

اگر برای سادگی تمام جرمها و ثابت فنرها را یکسان بگیریم، با تغییر متغیر  $X := m\omega^2$  خواهیم داشت

$$X^3 - 6kX^2 + 9k^2X - 2k^3(1 - \cos qa) = 0. \quad (24)$$

این معادله برای  $q = 0$ ، یعنی در مرکز منطقه ی بریلوئن، دو ریشه دارد

$$X = 0, \quad X = 3k, \quad (25)$$

پس داریم

$$\omega_1 = 0, \quad \omega_2 = \omega_3 = \sqrt{\frac{3k}{m}}. \quad (26)$$

معادله ی (24) برای  $q = \pm\pi$ ، یعنی در مرز منطقه ی بریلوئن می شود

$$X^3 - 6kX^2 + 9k^2X - 4k^3 = 0. \quad (27)$$

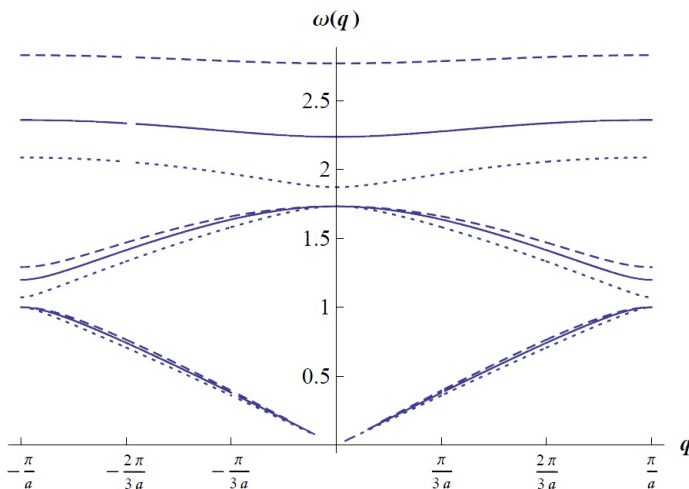
اینک به حل تحلیلی این معادله می پردازیم. روش حل معادله ی درجه ی سوم  $x^3 + a_1x^2 + a_2x + a_3 = 0$  به صورت زیر است [3].

$$x_1 = S + T - \frac{a_1}{3}, \quad x_2 = -\frac{1}{2}(S + T) - \frac{a_1}{3} + \frac{i\sqrt{3}}{2}(S - T), \quad x_3 = \bar{x}_2, \quad (28)$$

که در این جا

$$S = \sqrt[3]{R + \sqrt{Q^3 + R^2}} \quad T = \sqrt[3]{R - \sqrt{Q^3 + R^2}} \quad (29)$$

$$Q = \frac{3a_2 - (a_1)^2}{9} \quad R = \frac{9a_1a_2 - 27a_3 - 2(a_1)^3}{54}. \quad (30)$$



شکل 5: رابطه ی پاشندگی فونونی برای  $\beta = 1$ ,  $\alpha = 0.3$  (dashed),  $0.5$  (solid),  $0.8$  (dotted).

با توجه به این روابط، برای (27) داریم

$$a_1 = -6k \quad a_2 = 9k^2 \quad a_3 = -4k^3 \quad (31)$$

$$Q = -k^2 \quad R = k^3 \quad S = K \quad T = K \quad (32)$$

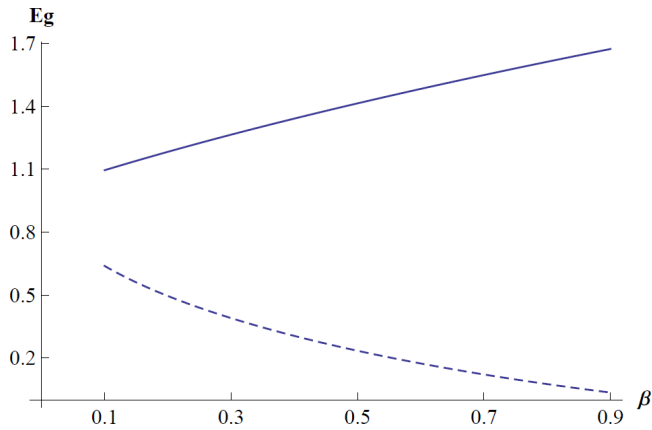
و در آخر ریشه های معادله ی (27) به صورت زیر خواهند بود.

$$x_1 = 4k \quad x_2 = k \quad x_3 = k. \quad (33)$$

برای  $q$  ی دلخواه پاسخ های تحلیلی دیگر ساده نیستند، و بهتر است با کامپیوتر آنها را بررسی کنیم. اینک که قرار است کامپیوتر برای ما معادله ی درجه ی سوم را حل کند، حتی می توانیم دیگر  $k_i$  ها و  $m_i$  ها را با هم برابر نگیریم. نخست مسئله را برای نسبت های گوناگون  $k$  و جرم های یکسان، با استفاده از نرم افزار Mathematica حل کرده ایم. این نسبت  $k$  ها را با دو ضریب  $\alpha$  و  $\beta$  نشان می دهیم.

$$\alpha = \frac{k_1}{k_3} \quad \beta = \frac{k_2}{k_1}. \quad (34)$$

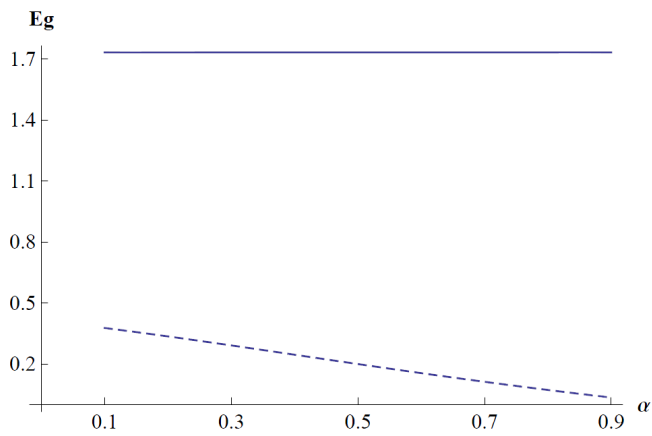
شکل (4) رابطه ی پاشندگی را برای  $\alpha = 1$  و چند مقدار  $\beta$  نشان می دهد. همان گونه که در شکل های (4) و (5) می بینید، از سه مُد مسئله، دو مُد اپتیکی و یک مُد آکوستیکی است. شکل (5) رابطه ی پاشندگی را برای  $\beta = 1$  و چند مقدار  $\alpha$  نشان می دهد. در شکل (6) گاف انرژی (یعنی اختلاف مقدار انرژی نوار دوم و اول) در مرکز و مرز ناحیه ی بریلوئن بر حسب  $\beta$  کشیده شده است ( $\alpha = 1$ ). همان گونه که می بینید، گاف انرژی میان شاخه ی آکوستیکی و شاخه ی اپتیکی پایینی در مرکز ناحیه ی بریلوئن با افزایش  $\beta$  زیاد می شود. در مرز منطقه ی بریلوئن ( $q = \pm\pi$ ) گاف انرژی میان شاخه ی آکوستیکی و شاخه اپتیکی بالایی با افزایش  $\beta$  کم می شود. در شکل (7) گاف انرژی را (برای  $\beta = 1$ ) در مرکز و مرز ناحیه ی بریلوئن بر حسب  $\alpha$  کشیده ایم.



شکل 6: گاف انرژی در مرکز و مرز ناحیه ی بریلوئن بر حسب  $\beta$ .  $q = \pm\pi$  (line),  $q = 0$  (dashed).

## مراجع

- [1] Kittel C.; *Introduction to Solid State Physics*; John Wiley and Sons, 1996.
- [2] Neil W. Ashcroft, N. W., Mermin, N. D.; *Solid State Physics*; Harcourt College Publishers ,1976.
- [3] M. R. Spiegel, *Schaums Mathematical Handbook of Formulas and Tables*, McGraw Hill, 1968.



شکل 7: گاف انرژی در مرکز و مرز ناحیه ی بریلوئن بر حسب  $\alpha$ .  $q = \pm\pi$  (solid),  $q = 0$  (dashed).